

Н.Н. Власов, Л.К. Гладилин,
Р.К. Дементьев

**Изучение дифракционного рождения
 $D^{*\pm}$ мезонов в реакциях
глубоко неупругого рассеяния
на коллайдере HERA.**

**Часть II. Селекция и анализ
дифракционных взаимодействий.**

Препринт НИИЯФ МГУ - 2002 - 26/710

Н.Н. Власов, Л.К. Гладилин,
Р.К. Дементьев

**Изучение дифракционного рождения
 $D^{*\pm}$ мезонов в реакциях
глубоконеупругого рассеяния
на коллайдере HERA.**

**Часть II. Селекция и анализ
дифракционных взаимодействий.**

Препринт НИИЯФ МГУ - 2002 - 26/710

МОСКОВСКИЙ ГОСУДАРСТВЕННЫЙ УНИВЕРСИТЕТ
им. М.В. ЛОМОНОСОВА

НАУЧНО-ИССЛЕДОВАТЕЛЬСКИЙ ИНСТИТУТ
ЯДЕРНОЙ ФИЗИКИ им. Д.В. СКОБЕЛЬЦЫНА

Н.Н. Власов, Л.К. Гладилин,
Р.К. Дементьев

**Изучение дифракционного рождения
 $D^{*\pm}$ мезонов в реакциях
глубоконеупругого рассеяния
на коллайдере HERA.**

**Часть II. Селекция и анализ
дифракционных взаимодействий.**

Препринт НИИЯФ МГУ - 2002 - 26/710

1 Введение.

Согласно Режде феноменологии, померонная траектория имеет самое высокое пересечение, что приводит к специфической конфигурации дифракционного состояния в пространстве быстрот. Так в случае дифракционной диссоциации виртуального фотона в ep взаимодействиях дифракционный кластер отделен от упруго рассеянного протона значительно большим бысротным интервалом, чем интервалы бысрот между адронами внутри дифракционного кластера. Поэтому главной сигнатурой изучаемых в данной работе дифракционных событий является наличие большого бысротного зазора между рассеянным протоном и адронной системой, образованной диссоциирующим фотоном.

Сепарация дифракционных состояний проводилась на основе выборки реконструированных событий ep взаимодействий, содержащих D^* мезоны. Процедура отбора и реконструкции таких событий приведены в работе [1]. Используемые далее обозначения и сокращения также определены в работе [1].

2 Отбор дифракционных событий.

Наличие наибольшего бысротного зазора в событиях устанавливалось методом максимальной бысроты, который в дальнейшем будем называть методом η_{MAX} . Переменная η_{MAX} определяется как псевдобысрота самого переднего EFO, т.е. ближайшего к протону (рассматривались только EFO с энергией больше 400 MeV). На рисунке 1 представлено распределение по переменной η_{MAX} , реконструированное по измерениям в CAL и FPS для событий содержащих $D^{*\pm}$ кандидаты. Большой пик при $\eta_{MAX} \sim 5$ принадлежит недифракционным событиям, в которых продукты фрагментации протона оставляют энергию в калориметре в передней области вокруг пучковой трубы. В левой части пика вклад от недифракци-

онных взаимодействий экспоненциально падает, выходя на плато при малых значениях η_{MAX} . Малые значения η_{MAX} соответствуют наличию в событиях больших быструх зазоров характерных для дифракционных взаимодействий. Величина η_{MAX} , при которой вклад от недифракционных взаимодействий становится пренебрежимо малым, может служить критерием отбора дифракционных событий в данном анализе. Для определения такого критерия использовалась информация об энерговыделении в FPC, которая позволяет улучшить процедуру селекции дифракционных событий. На верхнем рисунке 2 показан энергетический спектр измеренный с помощью FPC для данных, набранных в разные промежутки времени с позитронным и электронным пучками. Распределения нормированы на единицу, и хорошо ложатся друг на друга, что свидетельствует о стабильной работе FPC на протяжении всего времени набора данных. Нормированная на данные гистограмма, полученная моделированием фотонной дифракции, описывает пик в нуле, соответствующий дифракционным событиям, для которых характерно отсутствие активности в передней области детектора, где установлен FPC. Для недифракционных событий характерны отличные от нуля энергетические депозиты в FPC, также хорошо описываемые недифракционным MC генератором RAPGAP, что иллюстрируют гистограммы на нижнем рисунке 2. Из этого следует, что для разделения дифракционных и недифракционных событий можно использовать энергетический спектр FPC.

На нижнем рисунке 2 показаны формы распределений больших значений энергий в FPC для данных и недифракционного MC генератора RAPGAP с различными моделями фрагментации ARIADNE и MEPS. Из рисунка видно, что RAPGAP с ARIADNE лучше описывает спектор больших энергий, поэтому полученная с помощью этой комбинации MC генераторов база данных была выбрана в качестве номи-

нальной и использовалась для выработки критерия отделения дифракционных событий.

На рисунке 3 показано распределение по η_{\max} для событий с D^* после отбора по условию $E_{FPC} < 1.5$ ГэВ. Из рисунка видно, что данное условие позволяет надежно отбирать события, имеющие большой быстротный зазор, в области где находится дифракция. Согласно RAPGAP с ARIADNE для отобранных с помощью ограничения $E_{FPC} < 1.5$ ГэВ дифракционных событий, полностью отсутствует фон от недифракционных событий.

Далее была сделана оценка данного фона с использованием других недифракционных моделей, которая показала, что для отбора $E_{FPC} < 1.5$ ГэВ фон от недифракционных событий составляет 3 % и 19 % для RAPGAP с MEPS и HERWIG соответственно. Этот результат потребовал наложить дополнительное условие на величину η_{\max} .

На рисунке 4 представлены распределения по η_{\max} , где эта переменная была реконструированна для событий с D^* с использованием информации FPC. На верхнем рисунке заштрихованная гистограмма соответствует распределению, полученному с помощью недифракционного генератора RAPGAP с MEPS; на нижнем рисунке - с помощью генератора HERWIG. Условие $\eta_{\max} < 3$ сокращает недифракционный фон, согласно генератору HERWIG с 19 % до 8.5 %. В результате, в качестве критерия отбора дифракционных событий выбраны следующие условия:

$$\eta_{\max} < 3$$
$$E_{FPC} < 1.5 \text{ ГэВ}$$

Оценка недифракционной примеси с помощью MC генератора HERWIG была включена в список оценок систематических ошибок для измеренных значений дифракционных сечений.

2.1 Оценка примеси от процессов дифракционной диссоциации протона.

Метод η_{MAX} анализирует быстрое время зазора в передней части калориметра. В этой же области, наряду с фотонной дифракцией, процессы дифракционной диссоциации протона также могут иметь аналогичный зазор по скорости, если диссоциирующая система имеет достаточно малую массу и, соответственно, занимает малый быстрое время интервал. Такая система может пролететь в трубу пучка не будучи зарегистрированной. Это означает, что при использовании обсуждаемого метода вклад от событий протонной диссоциации также должен быть учтен.

Примесь от протонной диссоциации, к событиям дифракции фотона, была оценена с помощью анализа распределения энергии в передней части детектора при условии $\eta_{MAX} < 1.75$. При этом значения η_{MAX} рассчитывались из данных калориметра без учета информации от FPC. На рисунке 5 показаны предсказания Монте Карло расчетов (генератор EPSOFT 2.0) для энергии зарегистрированной в FPC E_{FPC} , как для дифракции фотона, так и для протонной диссоциации. Эти распределения были нормированы на данные, а коэффициент нормировки был использован для оценки примеси от протонной диссоциации. Вклад протонной диссоциации оказался равен $17.4^{+2.1}_{-3.5}$ %. В дальнейшем при анализе дифракции фотона полученное значение 17.4 % будет учтено во всех измерениях дифракционных сечений.

2.2 Систематические ошибки измерения вклада протонной диссоциации.

Оценка систематических ошибок в определении примеси протонной диссоциации проводилась на основе следующих источников:

- Использование переменной η_{\max} , рассчитанной по калориметру, без учета информации из первого кольца (*1stRING*) башен FCAL (окружающего FPC) при условии: $E_{FPC} > E_{1stRING}$ $E_{1stRING} < 1$ ГэВ. Данное условие учитывает перетекания энергии из FPC в FCAL и сокращает неопределенность, вносимую примесью от недифракционных событий, для которых характерно $E_{FPC} < E_{1stRING}$. Данная проверка дает -2.2 %.
- Выполнение перевзвешивания для наклона $b \sim 1.1$ распределения $dN/dM_N^2 \sim constant/(M_N^2)^b$, генерируемого MC EPSOFT, на ± 0.5 . Данная проверка дает $+2.1$ % и -1.1 %.
- Использование других MC генераторов протонной диссоциации RHOJET и RAPGAP, которые дают, соответственно, -0.8 % и -2.5 % сечения.

2.3 Критерии отбора и кинематическая область дифракционных процессов.

Метод η_{MAX} накладывает ограничения на измеряемые значения x_P . С увеличением быстрого зазора в событии доступное фазовое пространство для конечной адронной системы уменьшается, определяя, тем самым, обратную зависимость между величинами быстрого зазора и инвариантной массы M_X (а, соответственно, и x_P). Требование $\eta_{MAX} < 3$ эквивалентно зазору не менее трех единиц по псевдобыстроте, что равносильно условию $x_P < 0.05$. В данном анализе сечения измерялись при условии $x_P < 0.035$ во избежании измерений в области малого акцептанса.

И последнее ограничение, которое накладывалось на кинематическую область в данном анализе - это ограничение на значение переменной $\beta < 0.8$. Было установлено, что при

$\beta > 0.8$ акцептанс исчезающе мал и в этой области не наблюдается рождение $D^{*\pm}$ мезона.

После введения всех ограничений, дифракционный отбор можно подытожить следующими набором условий:

$$\eta_{\max} < 3, \quad E_{FPC} < 1.5 \text{ ГэВ},$$

$$x_F < 0.035, \quad \beta < 0.8,$$

Полная кинематическая область для последующего анализа процессов дифракционного рождения D^* мезонов имеет следующие границы:

$$0.02 < y < 0.7$$

$$1.5 < Q^2 < 200 \text{ ГэВ}^2,$$

$$|\eta(D^*)| < 1.5, \quad 1.5 < p_T(D^*) < 10 \text{ ГэВ},$$

$$\eta_{\max} < 3, \quad E_{FPC} < 1.5 \text{ ГэВ},$$

$$x_F < 0.035, \quad \beta < 0.8.$$

3 Результаты реконструкции дифракционных взаимодействий.

Распределения по ΔM и $M(D^0)$, наблюдаемые после наложения всех описанных выше ограничений, показаны на рисунках 6 и 7. В обоих распределениях хорошо виден четкий сигнал образования D^* мезона. После вычитания комбинаторного фона, нормированного для распределения ΔM в области $0.150 < \Delta M < 0.170$ ГэВ на правильные зарядовые комбинации, получено следующее значение числа дифракционно образованных D^* мезонов:

$$N(D^*) = 261 \pm 22.$$

Выделенные сигналы используются далее для расчета полного и дифференциальных сечений дифракционно образованных D^* мезонов. Для того, чтобы рассчитать сечения на основе полученного числа D^* мезонов, необходимо провести коррекции на аксептанс и разрешение детектора, а также на эффективность системы триггера и эффективность реконструкции и отбора событий. Все это было сделано с помощью базы данных Монте Карло, а аксептанс был рассчитан в кинематической области, определенной в предыдущем разделе. Прежде чем использовать данные Монте Карло, должна быть сделана проверка на то, как эти данные описывают различные переменные реконструированные из экспериментальных данных.

3.1 Сравнение данных с предсказаниями моделирования.

Для сравнения экспериментальных и МС данных были выбраны только те кандидаты в D^* , которые удовлетворяют обоим массовым окнам, и всем условиям отбора событий: ГНР, событий с D^* и дифракционных событий. Кроме того, в данных вычитался нормированный комбинаторный фон, рассчитанный с помощью неправильных знаковых комбинаций. Для выполнения сравнения, данные Монте Карло должны быть нормированы на экспериментальные данные. Так как RAPGAP и RIDI неправильно предсказывают абсолютные значения сечений и нормировка, с использованием эффективной светимости генераторов невозможна, данные этих МС генераторов были нормированы на площадь распределений в экспериментальных данных с использованием числа событий, содержащих D^* - мезоны.

При сравнении было установлено, что компоненты RIDI МС, моделирующие образование cc и $c\bar{c}g$ конечные состояния, по отдельности не описывают форму распределений в

экспериментальных данных. Поэтому, было произведено перевзвешивание RИDИ MC компонент таким образом, чтобы форма распределений в экспериментальных данных совпадала с моделируемой. При этом, была определена пропорция для смешивания компонент RИDИ, которая равна 15.9 % и 84.1 % для $c\bar{c}$ и $c\bar{c}g$ соответственно. На рисунке 8 показано распределение β из экспериментальных данных, которое сравнивается с предсказаниями генератора RИDИ, отдельно для компонент $c\bar{c}$, $c\bar{c}g$ и после перевзвешивания.

Из рисунка 9 видно хорошее согласие форм распределений $p_T(D^*)$, $\eta(D^*)$, $\log_{10}(M_X^2)$, $x(D^*)$, β , x_F , $\log_{10}(Q^2)$ и W для данных и двух Монте Карло генераторов RAPGAP и перевзвешенного RИDИ. Этот факт указывает на то, что обе базы данных MC могут быть использованы для расчета акселтанса. Далее, номинальное значение дифракционных сечений было рассчитано с использованием MC RAPGAP “N1 fit2”, а для систематической проверки использовалась база данных генератора RИDИ.

3.2 Расчет сечений.

Для расчета дифференциальных сечений, события в данных для различных переменных должны быть разделены по бинам. Это было сделано для следующих переменных: $p_T(D^*)$, $\eta(D^*)$, $\log_{10}(M_X^2)$, $x(D^*)$, β , x_F , $\log_{10}(Q^2)$ и W . Ввиду ограниченной статистики, доступной для данного анализа, было возможно использование не более чем пяти бинов для каждой переменной. Значения краев бинов для каждого распределения выбирались таким образом, чтобы в каждом бине было не менее 10 событий с D^* мезонами. Было установлено, что данному требованию удовлетворяет следующее разбиение по бинам:

- $p_T(D^*)$: 1.5 2.4 3.3 4.2 5.4 10.
- $\eta(D^*)$: -1.5 -0.9 -0.3 0.3 0.9 1.5

- $\log_{10}(M_X^2)$: 1. 1.44 1.88 2.32 2.76 3.2
- $x(D^*)$: 0. 0.16 0.32 0.48 0.64 1.
- β : 0. 0.10 0.20 0.30 0.45 0.8
- $x_{\mathbb{P}}$: 0. 0.004 0.008 0.012 0.020 0.035
- $\log_{10}(Q^2)$: 0.17 0.6 1. 1.3 1.55 2.3
- W : 50. 92. 134. 176. 218. 260.

После выполнения всех описанных ранее процедур отбора событий, был рассчитан акцептанс с помощью дифракционного МС генератора RAPGAP. Акцептанс был определен следующим образом:

$$A = \frac{N(D^*) \text{ reconstructed in bin}}{N(D^*) \text{ generated in bin}},$$

где ' $N(D^*)$ reconstructed in bin' - число реконструированных D^* мезонов в бине, а ' $N(D^*)$ generated in bin' - число D^* , смоделированных в бине. Результаты расчетов акцептансов в бинах представлены на рисунке 10.

Сечения для любой переменной ξ определялось соотношением:

$$\frac{d\sigma}{d\xi} = \frac{N_D(1 - f_{pd})}{A L B \Delta\xi},$$

где N_D - число $D^{*\pm}$ в бине ширины $\Delta\xi$, A - акцептанс для данного бина, L - интегральная светимость (82 пбн^{-1}), B - вероятность используемой моды распада $D^{*+} \rightarrow D^0\pi_s^+$ and $D^0 \rightarrow K^-\pi^+$ ($2.59 \pm 0.06 \%$ [2]) и f_{pd} - фракция событий, обусловленных фоном от протонной диссоциации.

Для определенной выше кинематической области число реконструированных D^* мезонов и акцептанс равны:

$$N(D^*) = 261 \pm 22, \quad A = 20.2 \%.$$

С использованием этих значений, после вычитания измеренного ранее фона от протонной диссоциации (17.4 %), интегральное сечение равно:

$$\sigma_{ep \rightarrow e' D^{*\pm} X_{p'}} = 512 \pm 42 \text{ pb},$$

где статистическая ошибка доминирует над неопределенностью измеренного числа событий $N(D^*)$.

Для дифференциальных сечений, число событий с D^* -мезонами, аксептанс и сечение для каждого бина, представлены в таблице 1. Значения статистических ошибок числа D^* -мезонов получены с учетом нормировки и вычитания комбинаторного фона в каждом бине. Ошибки значений аксептанса отражают статистику используемой базы данных генератора RAPGAR.

4 Оценка систематических ошибок.

Для измеренных значений сечений были рассчитаны систематические ошибки, которые вычислялись путем вариации ограничений, описанных в предыдущих разделах, а также путем использованием других моделей Монте Карло. При этом для каждого изменения анализ был повторен, и полученные сечения сравнивались с номинальными значениями, расчет которых описан в предыдущем разделе.

В данном анализе были использованы следующие основные систематические проверки:

- 1 Использование $e\Sigma$ -метода для реконструкции рассеянного позитрона вместо DA.
- 2 Уменьшение ограничения на энергию позитрона $E_e > 9 \text{ ГэВ}$ (-1 ГэВ).
- 3 Увеличение ограничения на энергию позитрона $E_e > 11 \text{ ГэВ}$ ($+1 \text{ ГэВ}$).

- 4 Смещение области $E - P_z$ влево, $38 < E - P_z < 63$ ГэВ (-2 ГэВ).
- 5 Смещение области $E - P_z$ вправо, $42 < E - P_z < 67$ ГэВ ($+2$ ГэВ).
- 6 Усиление box cut на координату y , $|y| > 8$ см ($+1$ см).
- 7 Усиление box cut на координату x , $|x| > 14$ см ($+1$ см).
- 8 Использование H-shaped cut вместо box cut.
- 9 Акцептанс был рассчитан с использованием RAPGAP Монте Карло генератора с другой померонной параметризацией, предполагающей более жесткое глюонное распределение в помероне.
- 10 Для фрагментации использовалась модель MEPS (DGLAP), вместо ARIADNE.
- 11 Энергия в FPC для Монте Карло варьировалась как -10 ГэВ.
- 12 Энергия в FPC для Монте Карло варьировалась как $+10$ ГэВ.
- 13 Уменьшение ограничения на E_{FPC} , $E_{FPC} < 1$ ГэВ (-0.5 ГэВ).
- 14 Увеличение ограничения на E_{FPC} , $E_{FPC} < 2$ ГэВ ($+0.5$ ГэВ).
- 15 Уменьшение ограничения на η_{\max} , $\eta_{\max} < 2.8$ (-0.2).
- 16 Увеличение ограничения на η_{\max} , $\eta_{\max} < 3.2$ ($+0.2$).
- 17 Недифракционный фон был оценен с помощью HERWIG Монте Карло генератора -8.5 %.

- 18 Вариация измеряемой калориметром энергии $+3\%$ ГэВ (в пределах неопределенности [3]).
- 19 Вариация измеряемой калориметром энергии -3% ГэВ.
- 20 Использование RIDI MC для расчета акцептанса.
- 21 Уменьшение области нормирования комбинаторного фона сигнала ΔM , как $0.155 < \Delta M < 0.170$ ГэВ.
- 22 Уменьшение области нормирования комбинаторного фона сигнала ΔM , как $0.150 < \Delta M < 0.165$ ГэВ.
- 23 Область сигнала (массового окна) для $M(D^0)$ была увеличена на 10 МэВ и для распределения ΔM увеличена на 0.5 МэВ так, что: $1.80 < M(D^0) < 1.93$ ГэВ, $0.1425 < \Delta M < 0.1485$ ГэВ.
- 24 Уменьшение ограничения на $p_T(\pi_s)$, $p_T(\pi_s) > 0.11$ ГэВ (-10 МэВ).
- 25 Увеличение ограничения на $p_T(\pi_s)$, $p_T(\pi_s) > 0.13$ ГэВ ($+10$ МэВ).
- 26 Уменьшение ограничения на $p_T(K, \pi)$, $p_T(K, \pi) > 0.475$ ГэВ (-25 МэВ).
- 27 Увеличение ограничения на $p_T(K, \pi)$, $p_T(K, \pi) > 0.525$ ГэВ ($+25$ МэВ).
- 28 Уменьшение ограничения на $|z_{vertex}|$, $|z_{vertex}| < 40$ ГэВ (-10 см).
- 29 Увеличение ограничения на $|z_{vertex}|$, $|z_{vertex}| < 60$ ГэВ ($+10$ см).
- 30 Реконструкция рассеяного позитрона без использования информации из SRTD.

31 Введение процедуры "размазки" для позиции рассеяного позитрона, реконструированной в SRTD.

Сечения, полученные на основе всех 31 проверок, представлены на рисунке 11 для полной кинематической области. Полная систематическая ошибка была определена как сумма в квадратурах всех перечисленных неопределенностей ¹ отдельно для положительных и отрицательных отклонений. Неопределенности, обусловленные ошибкой измерения величины светимости (± 1.8), а так же следующие из величины вероятностей мод распадов $D^{*\pm}$ и D^0 [2], в полную систематическую ошибку включены не были.

Итоговое сечение для полной кинематической области равно:

$$\sigma_{e \rightarrow D^{*\pm} X_{p'}} = 512 \pm 42(stat)_{-72}^{+26}(syst)_{-42}^{+56}(p.dis.) pb,$$

где "p.dis." указывает на ошибку, соответствующую неопределенности измеренного и вычтенного фона от протонной диссоциации.

Из рисунка 11 видно, что основным источником систематической неопределенности является оцененная с помощью HERWIG MC примесь от недифракции (проверка No 17), равная -8.5% . Все другие систематические проверки показывают приемлимые отклонения от номинальных значений сечений, в пределах статистических флуктуаций.

Результат проверки систематических ошибок измеренных значений дифференциальных сечений представлен в таблице 2.

¹ Неопределенности в измерении определялись как разницы между номинальным значением измеряемой величины и значениями, полученными после соответствующих вариаций.

5 Отношение сечений дифракционного образования $D^{*\pm}$ к полному сечению рождения $D^{*\pm}$.

Отношение R_D сечения дифракционного рождения $D^{*\pm}$ мезонов к инклюзивному (полному) сечению рождения $D^{*\pm}$ мезонов было измерено в области, где измерено инклюзивное сечение : $x_{Bj} < 0.028$. Эта область, согласно равенству $x_{Bj} = x_F \beta$, соответствует кинематической области по переменным x_F и β для дифракционного сечения: $x_F < 0.035$ и $\beta < 0.8$. В данном анализе, кроме полного отношения были измерены дифференциальные распределения R_D для переменных $p_T(D^*)$, $\eta(D^*)$, $x(D^*)$, $\log_{10}(Q^2)$ и W . Соответствующие значения чисел D^* -мезонов, акцептансов и сечений для инклюзивных измерений для каждого бина, представлены в таблице 3.

Для оценки систематических ошибок измеренных значений отношений было использовано меньше систематических проверок, так как те из них, которые относятся к проверкам ГНР-отбора и реконструкции D^* мезонов при делении сокращаются. Были проведены следующие проверки:

- 1 Для дифракционного сечения акцептанс был рассчитан с использованием RAPGAP Монте Карло генератора с другой померонной параметризацией, предполагающей более жесткое глюонное распределение в помероне.
- 2 Для фрагментации использовалась модель MEPS (DGLAP), вместо ARIADNE.
- 3 Энергия в FPC для Монте Карло варьировалась как -10 ГэВ.
- 4 Энергия в FPC для Монте Карло варьировалась как $+10$ ГэВ.

- 5 Уменьшение ограничения на E_{FPC} ,
 $E_{FPC} < 1$ ГэВ (-0.5 ГэВ).
- 6 Увеличение ограничения на E_{FPC} ,
 $E_{FPC} < 2$ ГэВ ($+0.5$ ГэВ).
- 7 Уменьшение ограничения на η_{\max} , $\eta_{\max} < 2.8$ (-0.2).
- 8 Увеличение ограничения на η_{\max} , $\eta_{\max} < 3.2$ ($+0.2$).
- 9 Недифракционный фон был оценен с помощью HERWIG Монте Карло генератора -8.5 %.
- 10 Вариация измеряемой калориметром энергии $+3$ % ГэВ (в пределах неопределенности [3]).
- 11 Вариация измеряемой калориметром энергии -3 % ГэВ.
- 12 Использование RIDI MC для расчета акцептанса.
- 13 При расчете инклюзивного сечения для фрагментации использовалась модель ARIADNE, вместо MEPS (DGLAP).
- 14 Для инклюзивного сечения акцептанс был рассчитан с использованием HERWIG Монте Карло генератора.

Отношения, полученные на основе всех 14 проверок для полной кинематической области представлены на рисунке 12. Измеренные значения дифференциальных отношений вместе с полными ошибками представлены в таблице 4. Для полной кинематической области Отношение равно:

$$R_D = \frac{\sigma^{diff}}{\sigma^{inc}} = 6.3 \pm 0.6(stat)_{-0.7}^{+0.3}(syst)_{-0.3}^{+0.3}(p.dis.) \%,$$

где “p.dis.” указывает на ошибку, соответствующую неопределенности вычтенного фона от протонной диссоциации.

6 Заключение.

Проведена селекция дифракционного рождения $D^{*\pm}$ мезонов в реакции глубоконеупругого рассеяния $ep \rightarrow D^* + X$, $D^* \rightarrow D^0\pi$.

Измерены интегральное и дифференциальные сечения образования D^* мезонов в кинематической области :

$$1.5 < Q^2 < 200 \text{ ГэВ}^2, \quad 0.02 < y < 0.7, \\ x_{IP} < 0.035, \quad \beta < 0.8, \quad P_T(D^*) > 1.5 \text{ ГэВ} \text{ и } |\eta(D^*)| < 1.5.$$

Сечение дифракционного рождения D^* мезона равно

$$512 \pm 42(stat)_{-72}^{+26}(syst)_{-42}^{+56} \text{ pb}$$

и составляет 6% полного сечения образования D^* мезона.

Список литературы

- [1] Н.Н. Власов, Л.К. Гладилин, Р.К. Дементьев, Preprint НИИЯФ МГУ 2002-25/709, 2002.
- [2] Particle Data Group, D.E. Groom et al., Eur. Phys. J. C **15**, 1 (2000).
- [3] ZEUS Coll., M. Derrick et al., Z. Phys. C **72**, 399 (1996).

Кинематический интервал	Число D^* мезонов	Акцептанс	Сечение (пб)
Полный кинематический интервал	261 ± 22	0.202 ± 0.002	512 ± 42
$p_T(D^*): 1.5 - 2.4$	87 ± 15	0.129 ± 0.002	293.4 ± 52.5
$p_T(D^*): 2.4 - 3.3$	84 ± 11	0.251 ± 0.004	146.3 ± 19.1
$p_T(D^*): 3.3 - 4.2$	48 ± 8	0.317 ± 0.008	66.2 ± 11.0
$p_T(D^*): 4.2 - 5.4$	30 ± 6	0.356 ± 0.011	27.7 ± 5.3
$p_T(D^*): 5.4 - 10.$	12 ± 4	0.391 ± 0.016	2.6 ± 0.8
$\eta(D^*): -1.5 - -0.9$	55 ± 10	0.172 ± 0.003	210.0 ± 36.7
$\eta(D^*): -0.9 - -0.3$	76 ± 11	0.245 ± 0.004	203.5 ± 29.8
$\eta(D^*): -0.3 - 0.3$	65 ± 10	0.218 ± 0.004	196.0 ± 30.0
$\eta(D^*): 0.3 - 0.9$	36 ± 10	0.216 ± 0.005	109.0 ± 29.5
$\eta(D^*): 0.9 - 1.5$	29 ± 8	0.146 ± 0.004	130.2 ± 35.3
$\log_{10}(M_X^2): 1. - 1.44$	28 ± 7	0.269 ± 0.011	93.1 ± 22.4
$\log_{10}(M_X^2): 1.44 - 1.88$	51 ± 10	0.220 ± 0.004	208.0 ± 39.5
$\log_{10}(M_X^2): 1.88 - 2.32$	97 ± 11	0.232 ± 0.004	373.6 ± 44.4
$\log_{10}(M_X^2): 2.32 - 2.76$	50 ± 11	0.188 ± 0.003	238.1 ± 54.7
$\log_{10}(M_X^2): 2.76 - 3.2$	36 ± 8	0.111 ± 0.004	291.6 ± 64.5
$\beta: 0. - 0.10$	153 ± 16	0.157 ± 0.002	3828.2 ± 408.9
$\beta: 0.10 - 0.20$	47 ± 9	0.284 ± 0.006	650.2 ± 126.9
$\beta: 0.20 - 0.30$	30 ± 6	0.358 ± 0.011	329.8 ± 70.3
$\beta: 0.30 - 0.45$	16 ± 7	0.405 ± 0.015	103.5 ± 44.2
$\beta: 0.45 - 0.8$	15 ± 6	0.540 ± 0.030	31.2 ± 12.1
$x_P: 0. - 0.004$	74 ± 11	0.240 ± 0.005	30394.7 ± 4393.0
$x_P: 0.004 - 0.008$	59 ± 10	0.269 ± 0.005	21547.1 ± 3621.7
$x_P: 0.008 - 0.012$	41 ± 9	0.245 ± 0.005	16464.2 ± 3593.2
$x_P: 0.012 - 0.020$	37 ± 10	0.188 ± 0.004	9669.07 ± 2587.9
$x_P: 0.020 - 0.035$	50 ± 9	0.098 ± 0.003	13410.6 ± 2428.0

Таблица 1: Число событий с D^* -мезонами, акцептанс и сечения для бинов, выбранных для дифференциальных распределений.

Кинематический интервал	Сечение (пб)	Ошибка stat syst ()(пб)	Ошибка stat syst (-)(пб)
$p_T(D^*): 1.5 - 2.4$	293.4 ± 52.5	+73.7	-86.6
$p_T(D^*): 2.4 - 3.3$	146.3 ± 19.1	+23.8	-27.5
$p_T(D^*): 3.3 - 4.2$	66.2 ± 11.0	+13.3	-13.3
$p_T(D^*): 4.2 - 5.4$	27.7 ± 5.3	+5.9	-6.0
$p_T(D^*): 5.4 - 10.$	2.6 ± 0.8	+0.9	-0.9
$\eta(D^*): -1.5 - -0.9$	210.0 ± 36.7	+44.5	-48.4
$\eta(D^*): -0.9 - -0.3$	203.5 ± 29.8	+38.1	-40.9
$\eta(D^*): -0.3 - 0.3$	196.0 ± 30.0	+35.0	-40.1
$\eta(D^*): 0.3 - 0.9$	109.0 ± 29.5	+35.8	-36.9
$\eta(D^*): 0.9 - 1.5$	130.2 ± 35.3	+44.8	-47.4
$\log_{10}(M_X^2): 1. - 1.44$	93.1 ± 22.4	+33.2	-32.6
$\log_{10}(M_X^2): 1.44 - 1.88$	208.0 ± 39.5	+48.8	-52.8
$\log_{10}(M_X^2): 1.88 - 2.32$	373.6 ± 44.4	+55.1	-65.1
$\log_{10}(M_X^2): 2.32 - 2.76$	238.1 ± 54.7	+79.7	-81.5
$\log_{10}(M_X^2): 2.76 - 3.2$	291.6 ± 64.5	+153.5	-126.5
$\beta: 0. - 0.10$	3828.2 ± 408.9	+536.2	-712.6
$\beta: 0.10 - 0.20$	650.2 ± 126.9	+175.1	-182.0
$\beta: 0.20 - 0.30$	329.8 ± 70.3	+89.5	-77.9
$\beta: 0.30 - 0.45$	103.5 ± 44.2	+49.6	-62.4
$\beta: 0.45 - 0.8$	31.2 ± 12.1	+18.1	-13.4
$x_P: 0. - 0.004$	30394.7 ± 4393.0	+5189.9	-5467.5
$x_P: 0.004 - 0.008$	21547.1 ± 3621.7	+5142.2	-4571.8
$x_P: 0.008 - 0.012$	16464.2 ± 3593.2	+4191.1	-5040.0
$x_P: 0.012 - 0.020$	9669.07 ± 2587.9	+3211.4	-3580.0
$x_P: 0.020 - 0.035$	13410.6 ± 2428.0	+4998.3	-4128.9

Таблица 2: Значения дифференциальных сечений и полных ошибок, включающих статистическую и систематическую.

Кинематический интервал	Число D^* мезонов	Акцептанс	Сечение (нб)
Полный кинематический интервал	5100 ± 111	0.300 ± 0.001	8.07 ± 0.18
$p_T(D^*): 1.5 - 2.4$	1260 ± 72	0.179 ± 0.002	3.64 ± 0.21
$p_T(D^*): 2.4 - 3.3$	1516 ± 55	0.332 ± 0.003	2.36 ± 0.09
$p_T(D^*): 3.3 - 4.2$	1021 ± 39	0.410 ± 0.005	1.29 ± 0.05
$p_T(D^*): 4.2 - 5.4$	744 ± 31	0.467 ± 0.007	0.62 ± 0.03
$p_T(D^*): 5.4 - 10.$	560 ± 27	0.510 ± 0.008	0.11 ± 0.01
$\eta(D^*): -1.5 - -0.9$	571 ± 34	0.231 ± 0.003	1.92 ± 0.12
$\eta(D^*): -0.9 - -0.3$	1116 ± 46	0.348 ± 0.004	2.48 ± 0.12
$\eta(D^*): -0.3 - 0.3$	1219 ± 49	0.337 ± 0.004	2.81 ± 0.12
$\eta(D^*): 0.3 - 0.9$	1255 ± 56	0.344 ± 0.004	2.83 ± 0.13
$\eta(D^*): 0.9 - 1.5$	941 ± 51	0.231 ± 0.003	3.16 ± 0.19
$x(D^*): 0. - 0.16$	767 ± 62	0.259 ± 0.004	8.60 ± 0.70
$x(D^*): 0.16 - 0.32$	1191 ± 56	0.281 ± 0.003	12.29 ± 0.59
$x(D^*): 0.32 - 0.48$	1306 ± 46	0.278 ± 0.003	13.66 ± 0.50
$x(D^*): 0.48 - 0.64$	912 ± 35	0.264 ± 0.003	10.04 ± 0.40
$x(D^*): 0.64 - 1.$	787 ± 31	0.440 ± 0.006	2.31 ± 0.10
$\log_{10}(Q^2): 0.17 - 0.6$	882 ± 48	0.144 ± 0.002	6.63 ± 0.37
$\log_{10}(Q^2): 0.6 - 1.$	1536 ± 57	0.313 ± 0.003	5.70 ± 0.22
$\log_{10}(Q^2): 1. - 1.3$	1122 ± 48	0.404 ± 0.005	4.31 ± 0.19
$\log_{10}(Q^2): 1.3 - 1.55$	682 ± 39	0.437 ± 0.006	2.91 ± 0.17
$\log_{10}(Q^2): 1.55 - 2.3$	877 ± 45	0.484 ± 0.006	1.13 ± 0.06
$W: 50. - 92.$	1017 ± 41	0.368 ± 0.005	0.032 ± 0.001
$W: 92. - 134.$	1687 ± 58	0.363 ± 0.003	0.051 ± 0.002
$W: 134. - 176.$	1312 ± 57	0.311 ± 0.003	0.047 ± 0.002
$W: 176. - 218.$	730 ± 46	0.246 ± 0.003	0.033 ± 0.002
$W: 218. - 260.$	318 ± 30	0.154 ± 0.003	0.023 ± 0.002

Таблица 3: Инклюзивное число событий с D^* -мезонами, акцептанс и сечения для бинов, выбранных для дифференциальных распределений.

Кинематический интервал	Отношение (%)	Ошибк stat syst ()(%)	Ошибка stat syst (-)(%)
$p_T(D^*): 1.5 - 2.4$	8.02 ± 1.51	+1.84	-1.75
$p_T(D^*): 2.4 - 3.3$	6.16 ± 0.84	+0.85	-1.07
$p_T(D^*): 3.3 - 4.2$	5.12 ± 0.87	+0.93	-1.02
$p_T(D^*): 4.2 - 5.4$	4.47 ± 0.88	+0.91	-0.98
$p_T(D^*): 5.4 - 10.$	2.35 ± 0.75	+0.78	-0.77
$\eta(D^*): -1.5 - -0.9$	10.89 ± 2.02	+2.12	-2.33
$\eta(D^*): -0.9 - -0.3$	8.16 ± 1.24	+1.43	-1.63
$\eta(D^*): -0.3 - 0.3$	6.95 ± 1.10	+1.15	-1.34
$\eta(D^*): 0.3 - 0.9$	3.84 ± 1.05	+1.11	-1.22
$\eta(D^*): 0.9 - 1.5$	4.10 ± 1.14	+1.28	-1.34
$x(D^*): 0. - 0.16$	4.90 ± 1.33	+2.93	-1.68
$x(D^*): 0.16 - 0.32$	5.46 ± 1.18	+1.71	-1.55
$x(D^*): 0.32 - 0.48$	6.26 ± 1.00	+1.03	-1.25
$x(D^*): 0.48 - 0.64$	7.31 ± 1.17	+1.48	-1.85
$x(D^*): 0.64 - 1.$	9.46 ± 1.66	+1.88	-3.01
$\log_{10}(Q^2): 0.17 - 0.6$	6.95 ± 1.39	+1.71	-1.54
$\log_{10}(Q^2): 0.6 - 1.$	5.27 ± 0.90	+1.05	-1.10
$\log_{10}(Q^2): 1. - 1.3$	8.28 ± 1.23	+1.29	-1.70
$\log_{10}(Q^2): 1.3 - 1.55$	7.31 ± 1.52	+1.52	-1.72
$\log_{10}(Q^2): 1.55 - 2.3$	3.98 ± 1.27	+1.30	-1.44
$W: 50. - 92.$	4.55 ± 1.19	+1.29	-1.64
$W: 92. - 134.$	6.56 ± 0.98	+1.04	-1.43
$W: 134. - 176.$	7.28 ± 1.10	+1.31	-1.30
$W: 176. - 218.$	7.24 ± 1.48	+1.96	-1.75
$W: 218. - 260.$	4.31 ± 1.91	+2.30	-2.02

Таблица 4: Отношение сечений дифракционного рождения D^* к полному. Приведены значения отношений дифференциальных сечений и полных ошибок, включающих статистическую и систематическую.

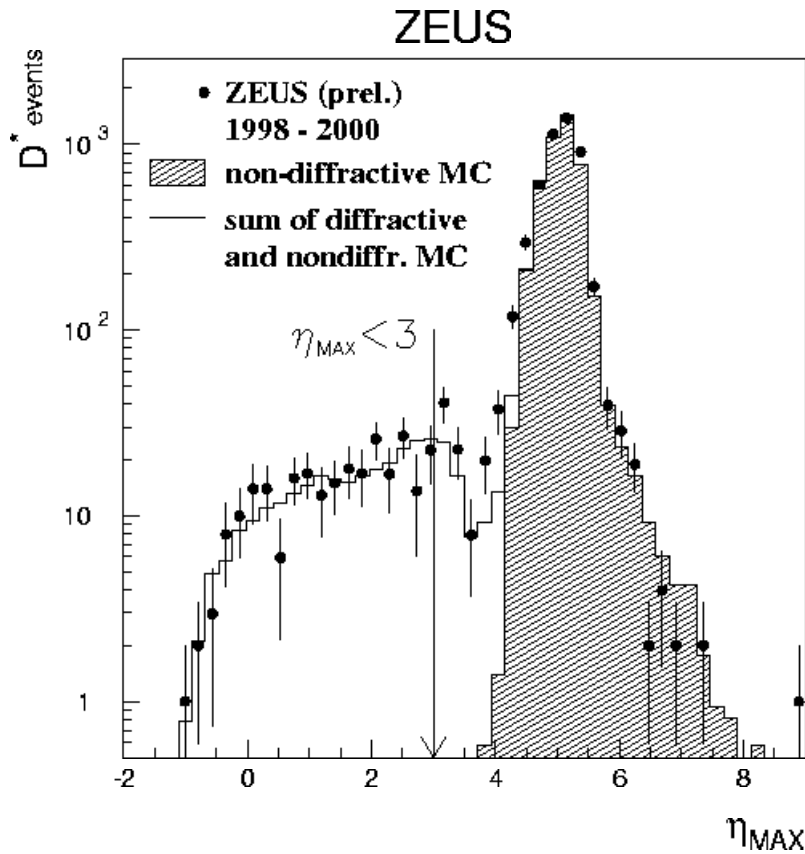


Рис. 1: Измеренное распределение η_{MAX} (черные точки). Заштрихованная гистограмма соответствует распределению η_{MAX} полученному с помощью недифракционного Монте Карло генератора. В рисунок включены только события, содержащие $D^{*\pm}$ кандидаты, которые лежат в области сигнала от D^0 и ΔM .

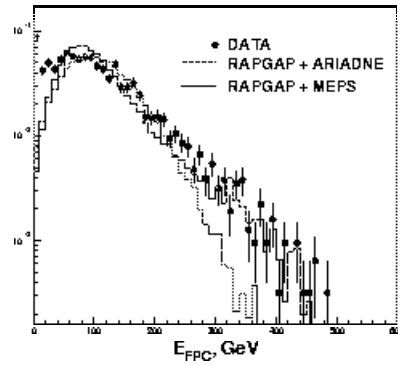
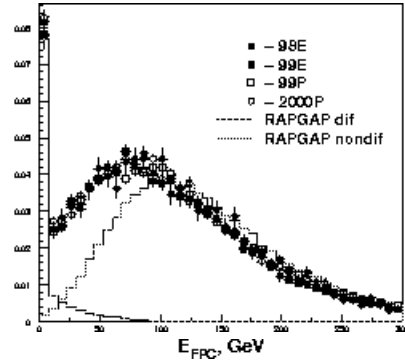


Рис. 2: Распределения энергии в FPC для данных, набранных в разные промежутки времени с разными позитронными и электронными пучками (верхний рисунок). Левая гистограмма соответствует моделированию диффракционных, правая - недифракционных событий. На нижнем рисунке показаны формы распределений больших значений энергии в FPC для данных и недифракционного MC генератора RAPGAP с различными моделями фрагментации.

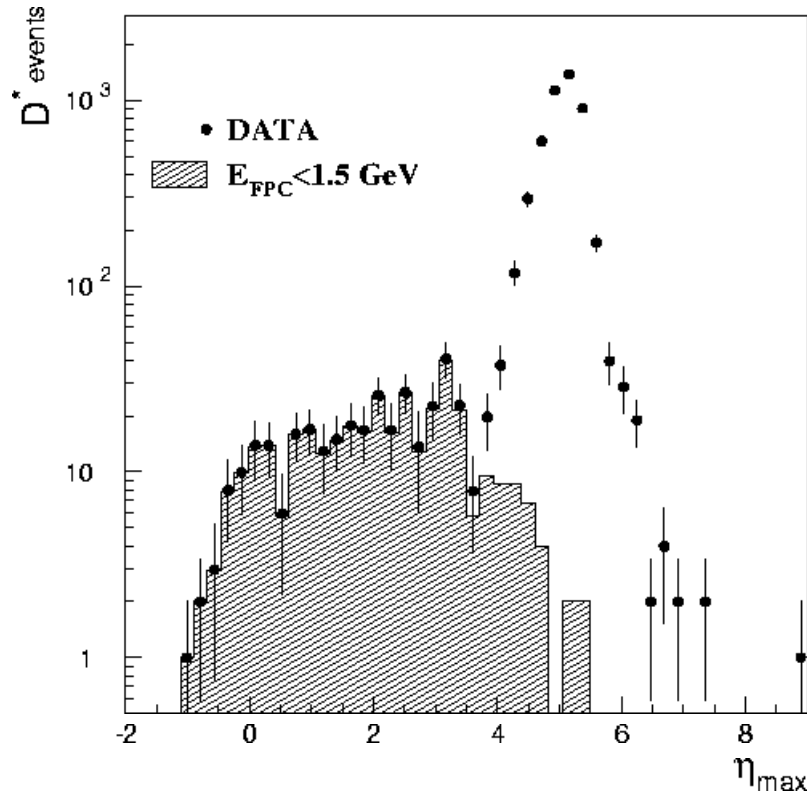


Рис. 3: Распределение η_{\max} для событий с D^* (черные точки). Заштрихованная гистограмма соответствует событиям с $E_{FPC} < 1.5 \text{ ГэВ}$.

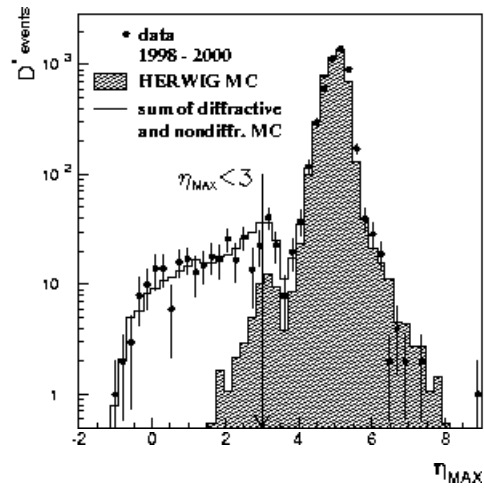
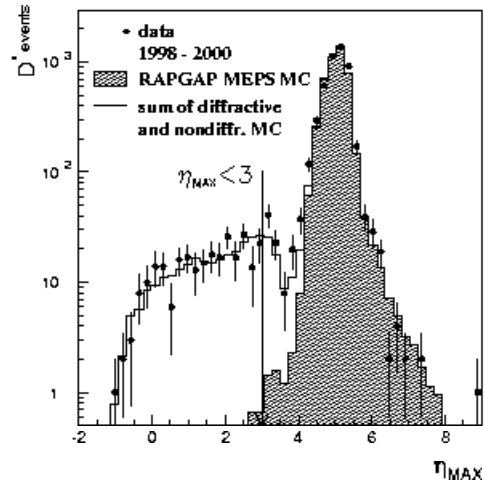


Рис. 4: Измеренное распределение η_{max} для событий с D^* (черные точки). На верхнем рисунке заштрихованная гистограмма соответствует распределению η_{max} , наблюдаемому, согласно недифракционному генератору RAPGAP с MEPS; на рисунке внизу - генератору HERWIG. Сплошная гистограмма соответствует сумме дифракционного и недифракционного MC.

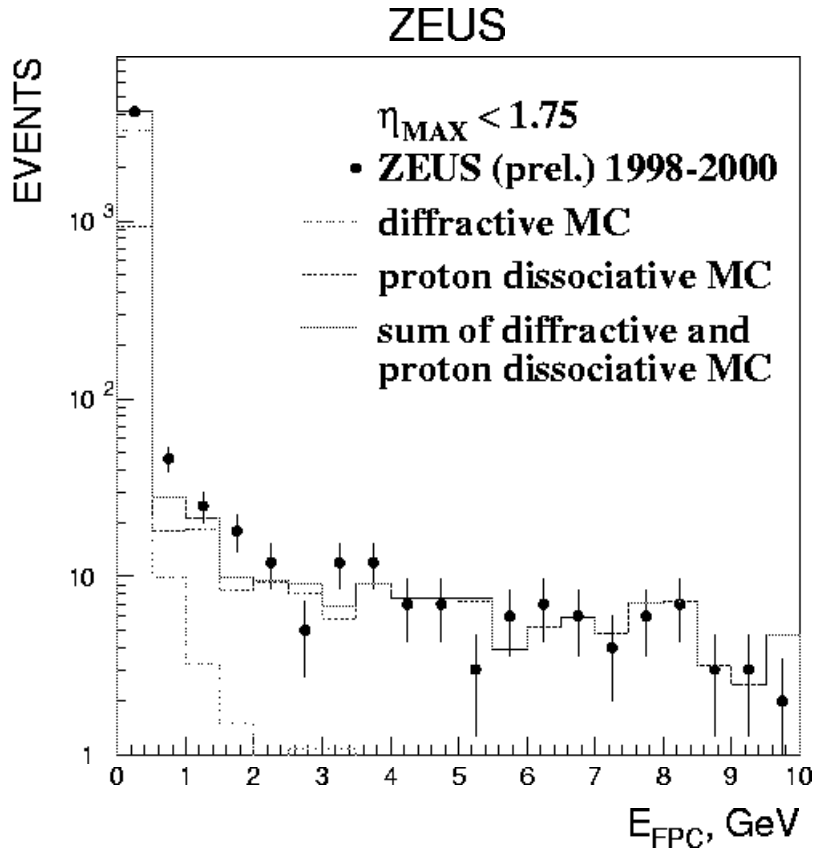


Рис. 5: Измеренная энергия в FPC (черные точки) для $\eta_{\text{max}} < 1.75$ области. Пунктирная гистограмма соответствует распределению, наблюдаемому согласно дифракционному MC генератору; точечная гистограмма соответствует MC генератору протонной диссоциации; сплошная гистограмма соответствует сумме MC генераторов дифракции и протонной диссоциации, нормированным на данные.

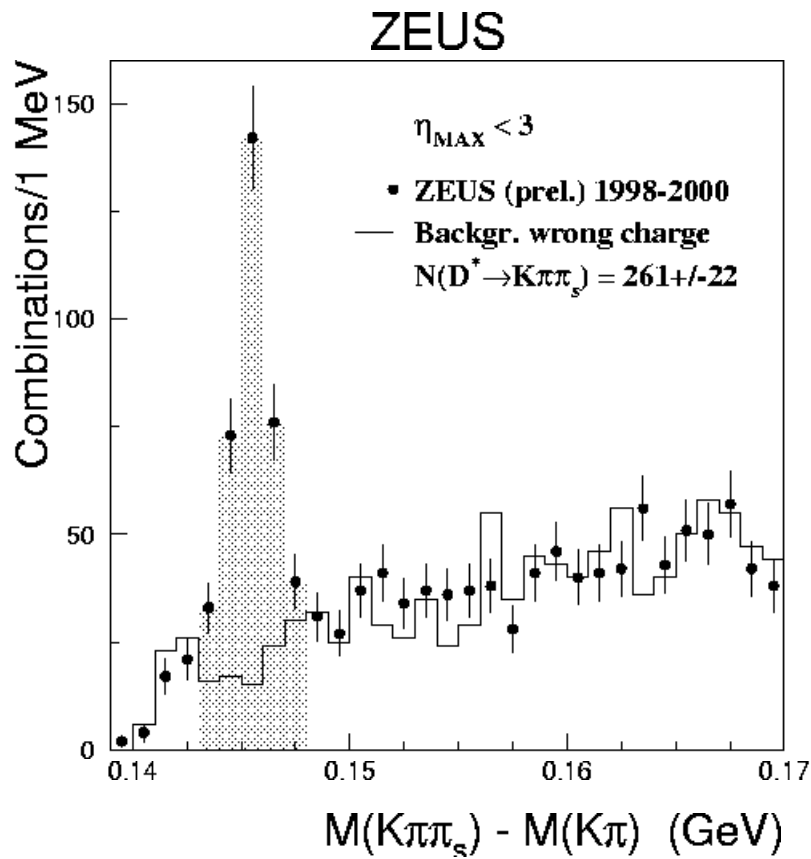


Рис. 6: Распределение ΔM для дифракционных событий. Черные точки соответствуют данным после выполнения всех условий отбор ГНР, D^* и селекции дифракции. Гистограмма соответствует комбинаторному фону от неправильных знаковых комбинаций. Показаны только комбинации с $1.81 < M(K, \pi) < 1.92$ ГэВ.

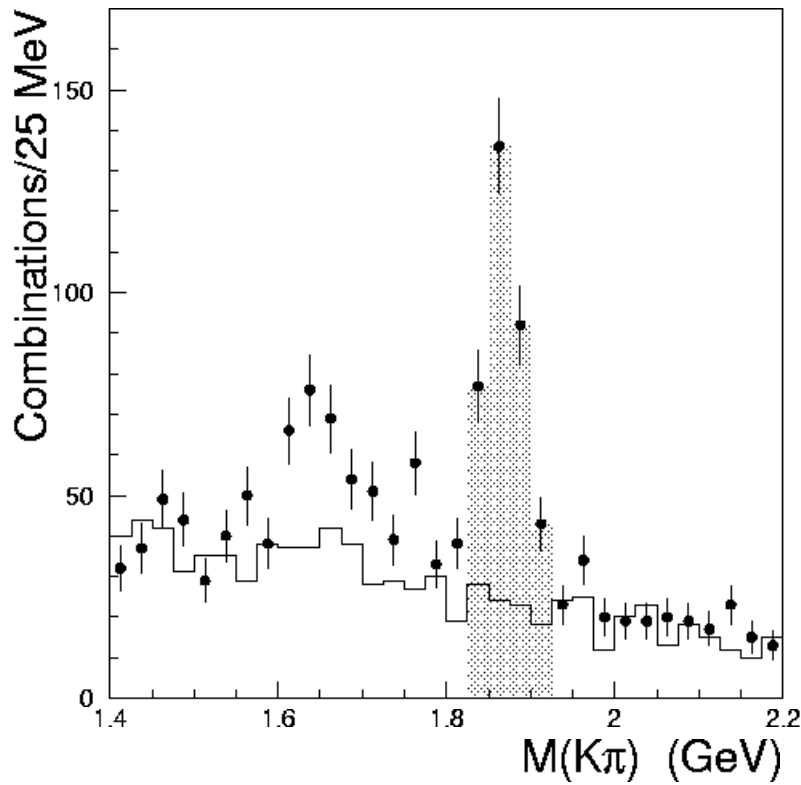


Рис. 7: Распределение $M(D^0)$ для дифракционных событий. Черные точки соответствуют данным после выполнения всех условий отбор ГНР, D^* и селекции дифракции. Гистограмма соответствует комбинаторному фону от неправильных знаковых комбинаций. Показаны только комбинации с $0.143 < \Delta M < 0.148$ ГэВ.

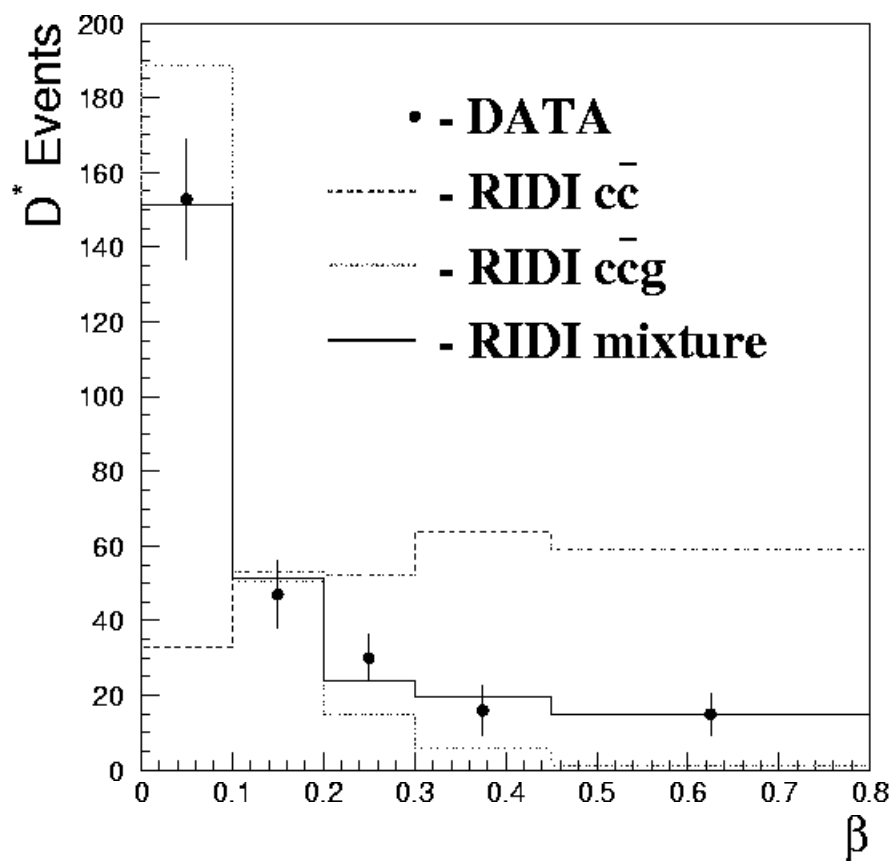


Рис. 8: Распределения по переменной β для экспериментальных данных (точки) и для событий смоделированных Монте Карло генератором RIDI.

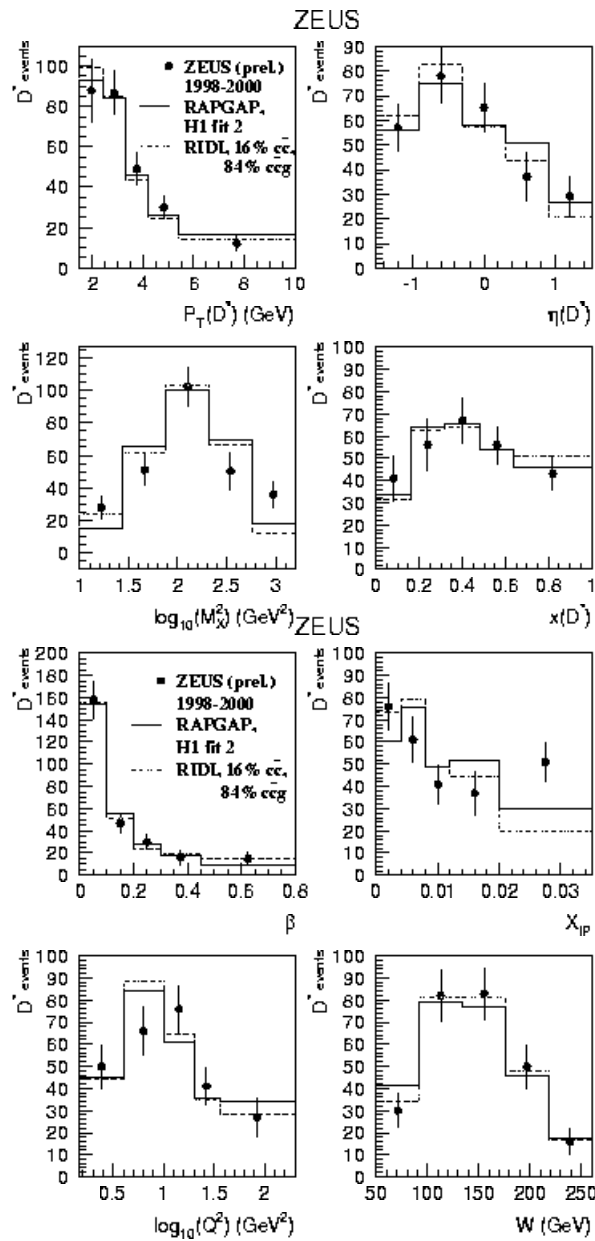


Рис. 9: Сравнение форм распределений $p_T(D^*)$, $\eta(D^*)$, $\log_{10}(M_X^2)$, $x(D^*)$, β , x_{IP} , $\log_{10}(Q^2)$ и W в данных и Монте Карло.

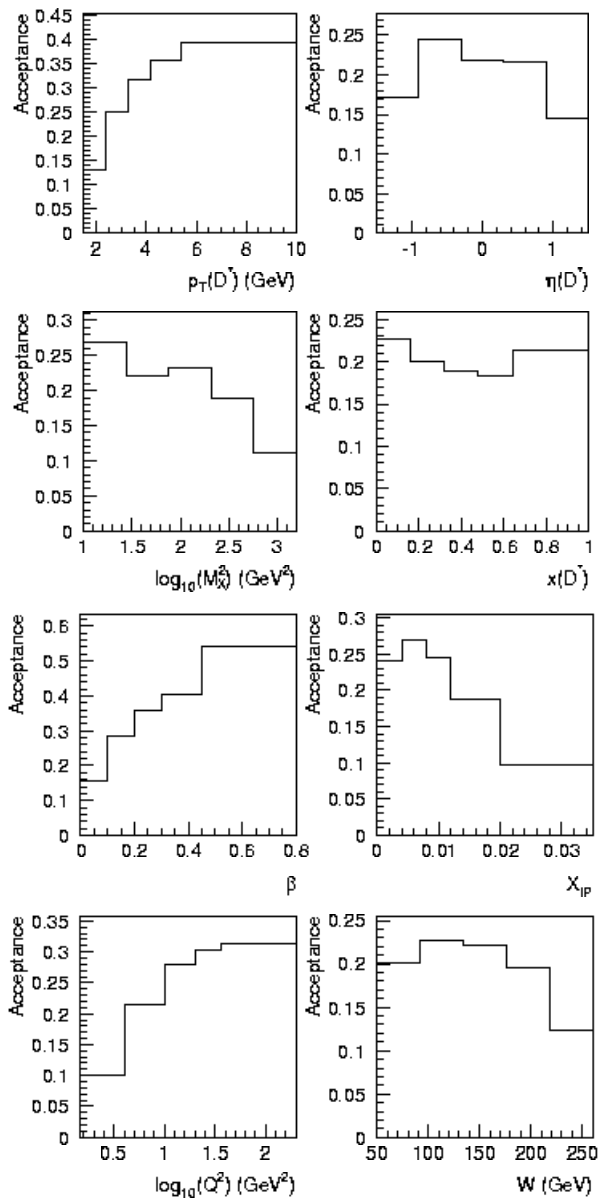


Рис. 10: Акцептанс для каждого бина распределений $p_T(D^*)$, $\eta(D^*)$, $\log_{10}(M_X^2)$, $x(D^*)$, β , x_{IP} , $\log_{10}(Q^2)$ и W .

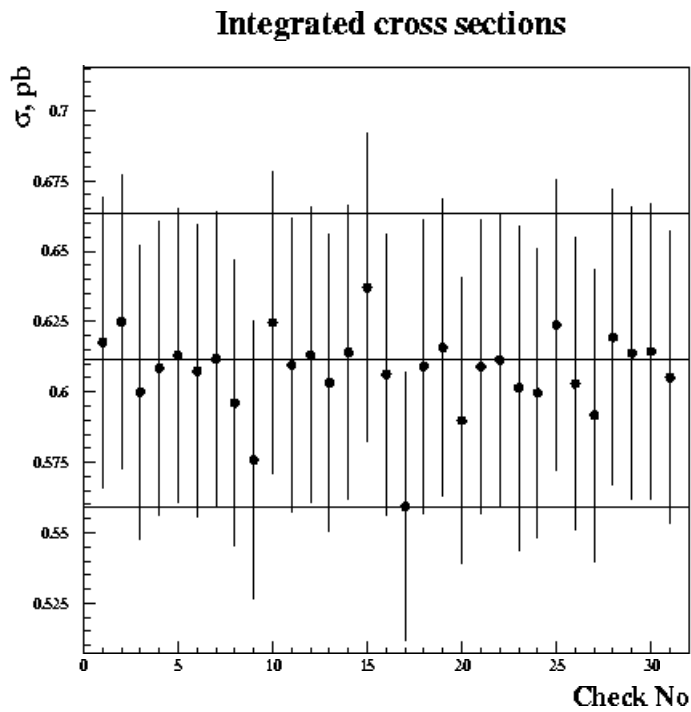


Рис. 11: Сечения в зависимости от номера систематической проверки для полной кинематической области.

Integrated ratios

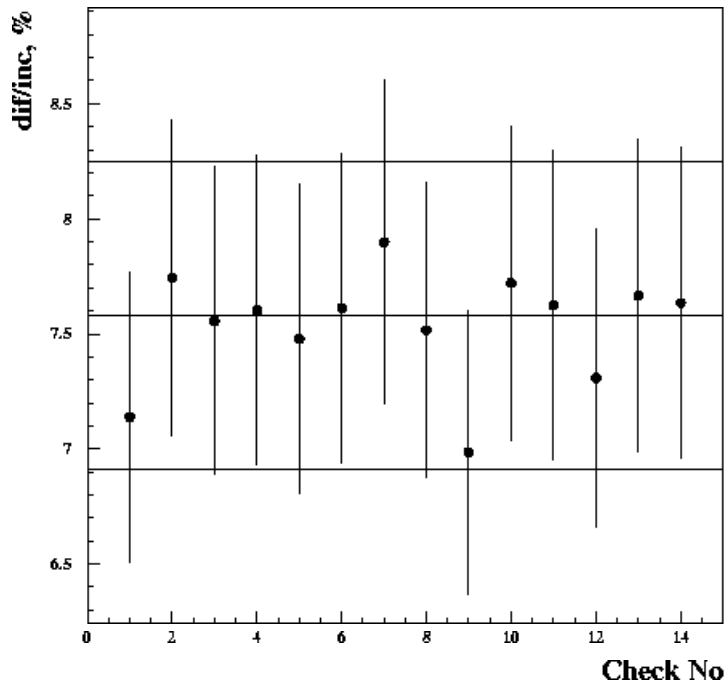


Рис. 12: Отношение сечений дифракционного образования D^* к полному сечению рождения D^* в зависимости от номера систематической проверки.

УДК
ББК

N.N.Vlasov, L.K.Gladilin, R.K.Dementiev

e-mail: vlasov@mail.desy.de

Investigation of diffractive $D^{*\pm}$ meson production in deep inelastic scattering at HERA collider.

Part II. Selection and analysis of the diffractive interactions.

Preprint NPI MSU - 2002 - 26/710

Abstract. Diffractive production of $D^{*\pm}(2010)$ mesons in deep inelastic scattering has been investigated. Diffractive events have been identified by the presence of a large rapidity gap in the finale state. The diffractive cross section has been found to be $512 \pm 42(stat)_{-72}^{+26}(syst)_{-42}^{+56}$ pb, what is 6% of the inclusive cross section of D^* production.

Н.Н. Власов, Л.К. Гладилин, Р.К. Дементьев

Изучение дифракционного рождения $D^{*\pm}$ мезонов в реакциях глубоконеупругого рассеяния на коллайдере HERA.

Часть II. Селекция и анализ дифракционных взаимодействий.

Препринт НИИЯФ МГУ - 2002 - 26/710

Аннотация. Изучается дифракционное рождения $D^{*\pm}$ мезонов в процессах глубоконеупругого рассеяния. Дифракционные события регистрируются по наличию большого быстрого интервала в конечном состоянии. Дифракционное сечение равно $512 \pm 42(stat)_{-72}^{+26}(syst)_{-42}^{+56}$ пб, что составляет 6% полного сечения образования D^* мезона.

© Н.Н. Власов 2002

© Л.К. Гладилин 2002

© Р.К. Дементьев 2002

© НИИЯФ МГУ 2002

**Николай Николаевич Власов,
Леонид Константинович Гладилин,
Ромуальд Константинович Дементьев**

**Изучение дифракционного рождения $D^{*\pm}$ мезонов в
реакциях глубоконеупругого рассеяния на
коллайдере HERA.**

**Часть II. Селекция и анализ дифракционных
взаимодействий.**

Препринт НИИЯФ МГУ - 2002 - 26/710

Работа поступила в ОНТИ 26.09.2002 г.

ИД № 00545 от 06.12.1999

Издательский отдел

Учебно-научного центра довузовского образования

117246, Москва ул. Обручева, 55А
119992, Москва, Ленинские горы, ГЗ МГУ, Ж-105а
Тел. /факс (095) 718-6966, 939-3934
e-mail: izdat@abiturcenter.ru
<http://www.abiturcenter.ru>

Гигиенический сертификат № 77.99.2.925.П.9139.2.00 от
24.02.2000

Налоговые льготы-Общероссийский классификатор продукции
ОК-005-93, том 1 -953000

Заказное. Подписано в печать 2002г. Формат 60x90/16

Бумага офсетная № 2. Усл. печ. л.

Тираж 50 экз. Заказ №

Отпечатано в Мини-типографии УНЦ ДО